06

Плазмодинамический синтез нанодисперсного кубического оксида вольфрама в среде углекислого газа

© И.И. Шаненков, Д.С. Никитин, А. Насырбаев, Ю.Л. Шаненкова, А.А. Сивков

Национальный исследовательский Томский политехнический университет, Томск, Россия

E-mail: nikitindmsr@yandex.ru

Поступило в Редакцию 25 июня 2025 г. В окончательной редакции 1 августа 2025 г. Принято к публикации 11 августа 2025 г.

Нанодисперсный порошок системы W-O успешно синтезирован в импульсной плазме дугового разряда при ее истечении в газообразную среду CO_2 . Полученный продукт характеризуется присутствием метастабильной кубической модификации $c\text{-WO}_3$, возможность существования которой в естественных условиях до сих пор оставалась спорной. По результатам исследования продукта методами рентгенофазового анализа и просвечивающей электронной микроскопии установлено содержание в нем кристаллической фазы $c\text{-WO}_3$ на уровне $\sim 90 \, \text{mass}\%$ в виде наноразмерных частиц.

Ключевые слова: плазма, дуговой разряд, оксид вольфрама, нанопорошки.

DOI: 10.61011/PJTF.2025.22.61575.20417

В последнее время с развитием нанотехнологий значительно возрос интерес к оксиду вольфрама WO₃, поскольку в наноразмерном состоянии его свойства значительно улучшаются, что обусловливает его использование в целом ряде перспективных направлений: фотои электрокатализе, солнечной энергетике, изготовлении электрохромных устройств и газовых сенсоров [1–3]. Особенности формирования химических связей W-O приводят к возможности существования нескольких полиморфных модификаций WO₃, включая моноклинную II (ε -WO₃), триклинную (δ -WO₃), моноклинную I $(\gamma\text{-WO}_3)$, орторомбическую $(\beta\text{-WO}_3)$, тетрагональную $(\alpha\text{-WO}_3)$ и кубическую $(c\text{-WO}_3)$, причем фазовые превращения зависят от температуры и обычно обратимы, что делает наиболее распространенными в естественных условиях δ - и γ -модификации [4].

Среди оксидов вольфрама выделяется кубическая модификация c-WO₃ — метастабильная кристаллическая фаза, возможность существования которой в естественных условиях долгое время оставалась под вопросом [5]. Несмотря на имеющиеся сведения об обнаружении указанной полиморфной модификации методами рентгеновской дифрактометрии при высокотемпературном нагреве вольфрамсодержащих кислот [6–9], успешная стабилизация при комнатной температуре кубической фазы в стехиометрической (c-WO₃) и нестехиометрической (c-WO₃) формах показана в крайне ограниченном количестве исследований [5,10]. Для обоих процессов характерно использование инертных или реакционнонейтральных газов (Ar, H₂).

Сложность стабилизации c-WO $_3$ в естественных условиях объясняется узким температурным диапазоном ее существования и термодинамической нестабильностью, характеризующейся фазовым переходом c-WO $_3$ $\rightarrow \gamma$ -WO $_3$ в условиях статического медленного понижения температуры. Синтез подобных метастабиль-

ных соединений принципиально возможен в условиях сверхбыстрой кристаллизации, например при охлаждении импульсной высокоскоростной струи электроэрозионной плазмы, что успешно было продемонстрировано в системе плазмодинамического синтеза на примере другого вольфрамсодержащего материала — кубического карбида вольфрама WC_{1-x} [11].

В настоящем исследовании предложен новый метод формирования метастабильной кристаллической модификации оксида вольфрама путем плазмодинамического синтеза в среде углекислого газа как мягкого окислителя. Метод основан на применении высокоскоростной электроразрядной плазмы, которая генерируется с помощью коаксиального магнитоплазменного ускорителя с вольфрамовой электродной системой. Центральный электрод (вольфрамовый цилиндр сплава ВА диаметром 10 mm и длиной 12 mm) и электрод-ствол (вольфрамовая труба сплава ВА с внешним диаметром 25 mm, внутренним диаметром 12 mm и длиной 140 mm) располагаются соосно, образуя межэлектродное пространство в виде ограниченного стеклотекстолитовым изолятором цилиндрического канала (диаметром 8 mm, длиной 9.5 mm), в котором формируется плазменная структура. Электропитание ускорителя осуществляется в одноимпульсном режиме от емкостного накопителя энергии. При подведении разности потенциалов от емкостного накопителя энергии с емкостью конденсаторных батарей $C = 14.4 \,\mathrm{mF}$ и зарядным напряжением $U_C = 2.5 \,\mathrm{kV}$ между центральным электродом и электродом-стволом возникает дуговой разряд, характеризующийся током $130 \pm 5\,\mathrm{kA}$ и мощностью $122 \pm 5\,\mathrm{MW}$. Образовавшаяся плазменная структура движется вдоль ускорительного канала и вызывает электрическую эрозию электродной системы, вовлекая в реакционную зону жидкофазный материал и макрочастицы вольфрама. При высокоэнергетическом $(26 \pm 2 \, \text{kJ})$ импульсном $(450 \pm 10 \, \mu \text{s})$ воздей-

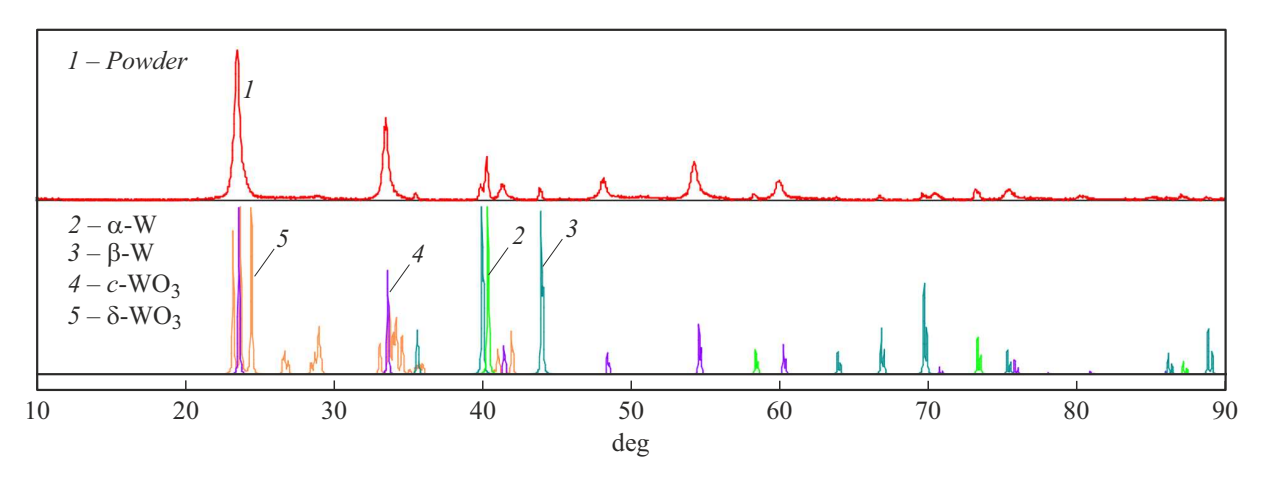


Рис. 1. Рентгеновская дифрактограмма синтезированного продукта в системе W-O.

ствии ускоренной до нескольких km/s [12,13] плазменной струи на газообразную атмосферу камеры-реактора, заполненную углекислым газом (ГОСТ 8050–85, более 99.5% СО₂) при давлении 2 atm, происходит разложение молекул СО₂ с образованием свободных радикалов кислорода, которые могут вступать в реакцию оксидообразования с эродированным вольфрамом при повышенных давлении и температуре в головном скачке уплотнения плазменной струи. Состав газа камеры-реактора контролировался путем отбора газовых проб из объема рабочей камеры и их анализа с помощью газового хроматографа "Хроматэк-Кристалл 5000.2" (Хроматэк, Россия). Степень конверсии углекислого газа, характеризуемая разницей содержания газа по показаниям газоанализатора до и после эксперимента, достигает 0.5%.

В итоге из жидкой и паровой фазы синтезированного окисленного материала при интенсивном (до $10^6-10^7~{\rm K/s}$) охлаждении в камере-реакторе в результате гомогенного зародышеобразования формируются высокодисперсные кристаллы. После этого также возможны вторичные процессы роста частиц продукта в результате гетерогенной конденсации, а также коагуляции и агломерации кристаллических объектов. В дальнейшем после полного осаждения нанодисперсных частиц на стенках камеры-реактора осуществляется сбор порошкообразного продукта вручную. Масса порошка составляет $\sim 1~{\rm g}$, удельные затраты энергии на производство продукта $\sim 45~{\rm kJ/g}~(0.0125~{\rm kW}\cdot{\rm h/g})$.

Исследование фазового состава дисперсного материала, полученного в процессе плазмодинамического синтеза, осуществлялось методом рентгеновской дифрактометрии (Shimadzu XRD-7000, CuK_{α} -излучение, $\lambda=1.5406$ Å, скорость сканирования 2 deg/min, шаг 0.03 deg, время выдержки 1 s). На рис. 1 представлена рентгеновская дифрактограмма порошкообразного продукта. Судя по характеру совокупности максимумов интенсивности, продукт является гетерофазным и преимущественно содержит фазу кубического триоксида вольфрама c-WO₃ (ICDD 04-004-5867, Pm-3m, N 221, a=3.8380 Å). При анализе по дифрактограмме порошка

основных максимумов интенсивности фазы c-WO $_3$ наблюдается образование некоторого сдвига их положения относительно эталона, что может указывать на формирование нестехиометрического соединения с недостатком кислорода WO $_{3-x}$. Это вполне вероятно как для системы W-O с широкой зоной гомогенности (в основном $2 \le 3 - x \le 3$) [14], так и для конкретной кубической кристаллической фазы, для которой обычно характерен некоторый дефицит кислорода $(2.9 \le 3 - x \le 3)$ [5].

Помимо оксида вольфрама в продукте присутствуют две модификации элементарного вольфрама: устойчивая кубическая α -фаза (ICDD 00-004-0806, Im3m, N 229, $a=3.1648\,\text{Å}$) и метастабильная кубическая β -фаза (ICDD 00-047-1319, Pm3n, N 223, $a=5.0500\,\text{Å}$). По низкоинтенсивным рефлексам, расположенным при $2\theta\approx28.8\,\text{deg}$, на уровне следов в продукте дополнительно возможно идентифицировать более устойчивую триклинную δ -модификацию WO3 (ICDD 00-032-1395, P-1, N 2).

Проведен количественный рентгенофазовый анализ методом Ритвельда (табл. 1), показавший содержание $c\text{-WO}_3$ более 90 mass%. По результатам анализа состава продукта можно сделать вывод, что в процессе плазменного воздействия происходит электроэрозия вольфрамовой электродной системы с выделением реакционно-активного вольфрама, который в основном окисляется с образованием WO₃, кристаллизуясь преимущественно в виде метастабильной кубической фазы, но также частично остается и в неокисленной форме, причем в виде двух модификаций вольфрама. Следует заметить, что формирование метастабильного $c\text{-WO}_3$ стало возможным благодаря конкретным уровням интенсивности и времени высокотемпературного воздействия на продукт,

Таблица 1. Оценка содержания кристаллических фаз (в mass%) в составе продукта синтеза

α-W	$\beta ext{-W}$	c-WO ₃	δ -WO ₃
7 ± 1	3 ± 1	91 ± 2	_

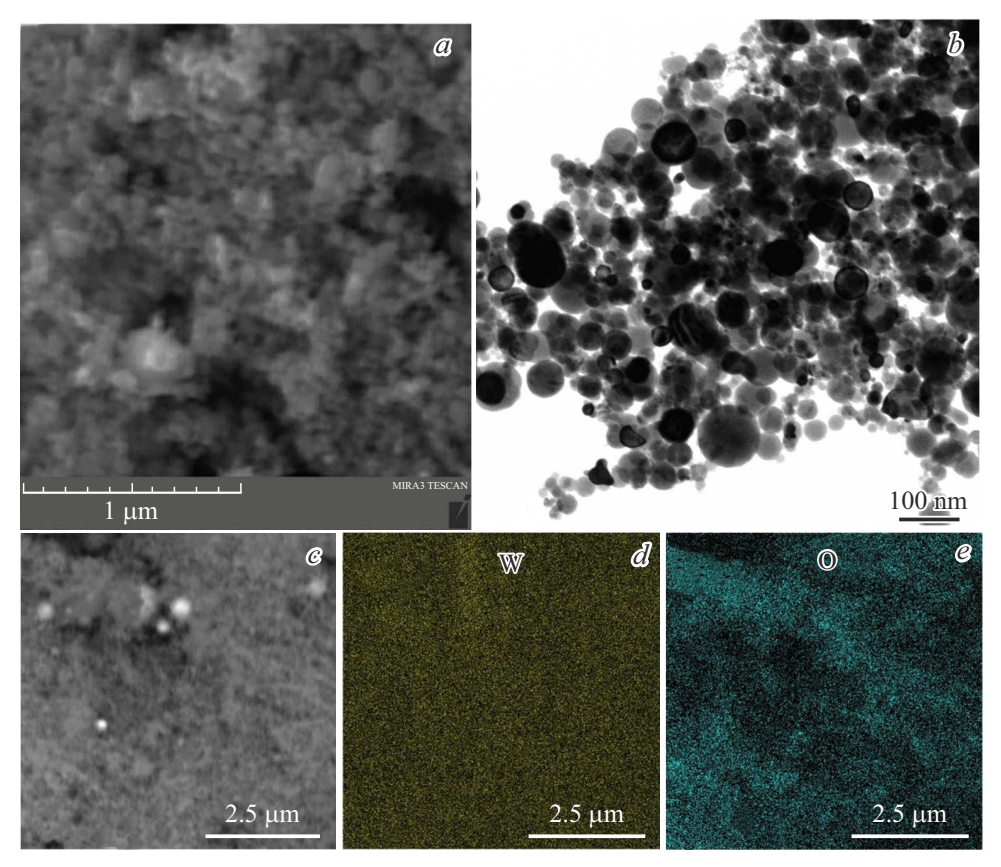


Рис. 2. РЭМ-снимок (a), ПЭМ-снимок (b), результаты ЭДС-картирования скопления частиц синтезированного продукта, включая исходный микроснимок (c), карты распределения по вольфраму (d) и кислороду (e).

поскольку система W-O слишком чувствительна к величинам, градиентам и скоростям изменения температуры. Обычно в качестве причины стабилизации кубической фазы оксида вольфрама в немногочисленных экспериментальных исследованиях указывается образование кислородных вакансий при вероятном сосуществовании в кристаллической структуре нескольких типов металлических катионов W^{6+} (преимущественный тип), W^{5+} и W^{4+} [5].

Микроструктура синтезированного дисперсного материала охарактеризована с помощью методов растровой электронной микроскопии (РЭМ) (Tescan Mira 3LMU с системой рентгеновского энергодисперсионного микроанализа, ускоряющее напряжение до 30 kV, предельное разрешение 1.8 nm) и просвечивающей электронной микроскопии (ПЭМ) (JEOL JEM 2100F, ускоряющее напряжение до 200 kV, предельное разрешение 0.14 nm). На рис. 2, а представлен РЭМ-снимок полученного порошка. Продукт достаточно однороден по гранулометрическому составу и контрастности объектов. В основном материал представлен в виде высокодисперсных (размером не более $1 \mu m$) частиц, сцепленных как в рыхлые, так и в плотные агломераты. Более крупные частицы немногочисленны и достигают в размерах нескольких микрометров, при этом отличаются большей контрастностью, что позволяет отнести их к высокоплотному вольфраму. Высокодисперсная структура продукта, полученного в системе W—O, отличает его от материалов, синтезированных плазмодинамическим методом в системах с другими металлическими электродами (например, титановыми) и выделяющихся наличием крупной фракции в виде сфероподобных частиц размером до нескольких десятков микрометров [12,13]. Существенное изменение гранулометрического состава продукта, повидимому, связано со специфическими свойствами вольфрама, его высокими температурой плавления (3422 °C) и работой выхода (4.54 eV), влияющими на процесс электроэрозии материала.

Согласно результатам исследования продукта методом энергодисперсионной спектроскопии (ЭДС) (табл. 2), в синтезированном порошке в основном со-

Таблица 2. Количественный элементный анализ продукта синтеза

2	Содержание		
Элемент	mass%	at.%	
О	14.43	65.67	
Ca	0.15	0.27	
Ti	0.17	0.26	
La	0.53	0.28	
W	84.72	33.52	
Всего	100.00	100.00	

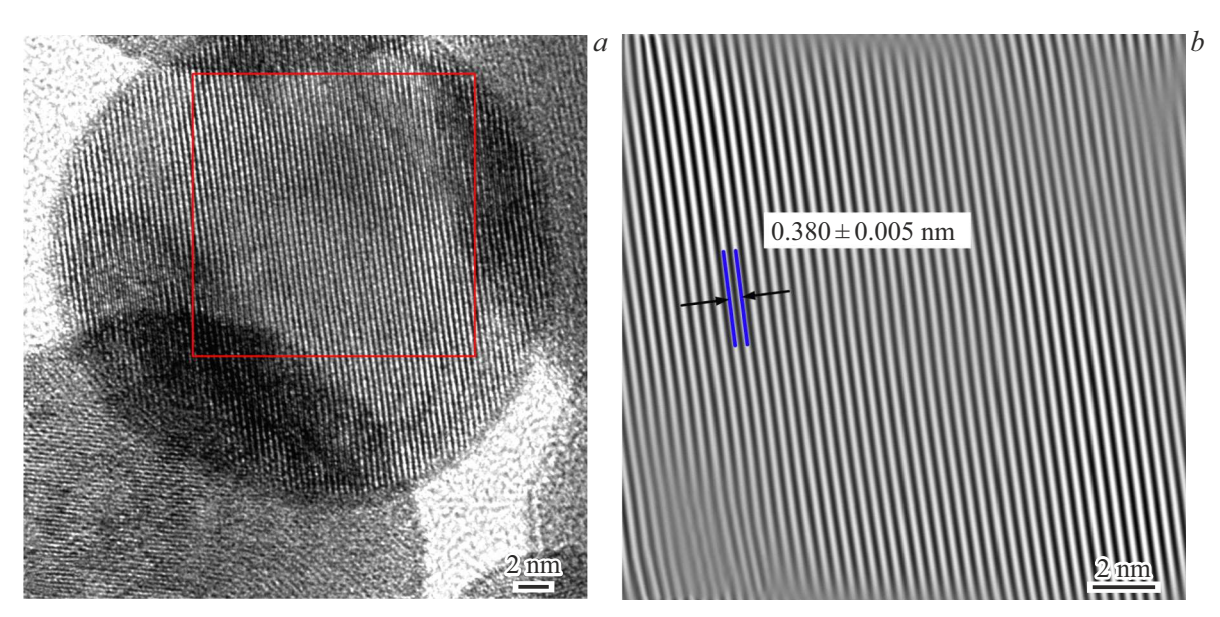


Рис. 3. Результаты ПЭМ высокого разрешения синтезированного продукта: светлопольное изображение (a), IFFT-изображение прямого разрешения указанной области (b).

держатся вольфрам и кислород, количество примесей (Са, Ті, La) является минимальным. Ожидаемо атомное содержание кислорода значительно превышает долю вольфрама. На рис. 2, d и e представлены карты распределения по элементам W и O, совмещенные c исходным микроснимком (рис. 2, c). По представленым данным наблюдается равномерное распределение как вольфрама, так и кислорода, что дает возможность утверждать факт формирования единого соединения в виде оксида вольфрама в составе продукта и составляющих его частиц.

Структура синтезированного материала на наноуровне изучена методами ПЭМ высокого разрешения. На рис. 2, в представлен характерный ПЭМ-снимок скопления, который свидетельствует о формировании наноструктуры в продукте. Порошок включает в основном сфероподобные частицы размером до 100 nm (средний размер частиц $\sim 30\,\mathrm{nm}$). Существенные отличия в морфологии сформировавшихся частиц идентифицировать сложно, однако выявлены объекты, которые однозначно относятся к кубическому оксиду вольфрама c-WO₃. На рис. 3, a представлена типичная сфероподобная монокристаллическая наночастица размером $\sim 20\,\mathrm{nm}$ без оболочки. При обработке данных ПЭМ посредством обратного преобразования Фурье (с помощью программного обеспечения Gatan Digital Micrograph 1.80.70) получено изображение, демонстрирующее прямое разрешение атомных плоскостей (рис. 3, b). Рассчитанная величина межплоскостного расстояния $0.380 \pm 0.005\,\mathrm{nm}$ соответствует эталонным значениям $d_{200} = 0.37610\,\mathrm{nm}$ для фазы кубического оксида вольфрама.

Таким образом, плазмодинамический метод позволяет производить высокоэффективный синтез кубического оксида вольфрама $c ext{-WO}_3$. При генерировании дугового

разряда и плазменной струи с помощью коаксиального магнитоплазменного ускорителя с вольфрамовыми электродами происходит электроэрозия металла с поверхности электродной системы, разложение CO_2 в камере-реакторе при высокоинтенсивном воздействии и окисление вольфрама с участием образовавшихся свободных радикалов кислорода. В итоге синтезируется высокодисперсный продукт с преимущественным содержанием кристаллической фазы $c\text{-WO}_3$. Материал формируется в виде характерных сфероподобных монокристаллических наночастиц со средним размером $\sim 30\,\mathrm{nm}$.

Финансирование работы

Исследование выполнено за счет гранта Российского научного фонда N_{\odot} 24-79-10113 (https://rscf.ru/en/project/24-79-10113/).

Конфликт интересов

Авторы заявляют, что у них нет конфликта интересов.

Список литературы

- [1] S. Zhou, Z. Yang, X. Feng, J. Zuo, N. Wang,
 K. Thummavichai, Y. Zhu, iScience, 27 (4), 109535 (2024).
 DOI: 10.1016/j.isci.2024.109535
- [2] X. Gu, S. Lin, K. Qi, Y. Yan, R. Li, V. Popkov, O. Almjasheva, Sep. Purif. Technol., 345, 127299 (2024).DOI: 10.1016/j.seppur.2024.127299
- [3] X. Li, L. Fu, H. Karimi-Maleh, F. Chen, S. Zhao, Heliyon, 10 (6), e27740 (2024). DOI: 10.1016/j.heliyon.2024.e27740

- [4] H. Zheng, J.Z. Ou, M.S. Strano, R.B. Kaner, A. Mitchell, K. Kalantar-Zadeh, Adv. Funct. Mater., 21 (12), 2175 (2011). DOI: 10.1002/adfm.201002477
- [5] Z. Fang, S. Jiao, B. Wang, W. Yin, S. Liu, R. Gao, Z. Liu, G. Pang, S. Feng, Mater. Today Energy, 6, 146 (2017). DOI: 10.1016/j.mtener.2017.09.014
- O. Yamaguchi, D. Tomihisa, H. Kawabata, K. Shimizu, J. Am. Chem. Soc., 70, C94 (1987).
 DOI: 10.1111/j.1151-2916.1987.tb05010.x
- A.R. Siedle, T.E. Wood, M.L. Brostrom, D.C. Koskenmaki,
 B. Montez, E. Oldfield, J. Am. Chem. Soc., 111, 1665 (1989).
 DOI: 10.1021/ja00187a019
- [8] C. Guéry, C. Choquet, F. Dujeancourt, J.M. Tarascon, J.C. Lassegues, J. Solid State Electrochem., 1, 199 (1997). DOI: 10.1007/s100080050049
- [9] C. Balazsi, M. Farkas-Jahnke, I. Kotsis, L. Petrás, J. Pfeifer, Solid State Ionics, 141, 411 (2001).DOI: 10.1016/S0167-2738(01)00806-2
- [10] P.H. Sung, H.K. Yen, S.M. Yang, K.C. Lu, Nanomaterials, 13 (7), 1197 (2003). DOI: 10.3390/nano13071197
- [11] I. Shanenkov, D. Nikitin, A. Ivashutenko, Y. Shanenkova, Y. Vympina, D. Butenko, W. Han, A. Sivkov, Ceram. Int., 47 (5), 6884 (2021). DOI: 10.1016/J.CERAMINT.2020.11.035
- [12] A. Sivkov, E. Naiden, A. Ivashutenko, I. Shanenkov, J. Magn. Magn. Mater., 405, 158 (2016).
 DOI: 10.1016/j.jmmm.2015.12.072
- [13] A. Sivkov, Y. Vympina, A. Ivashutenko, I. Rakhmatullin, Y. Shanenkova, D. Nikitin, I. Shanenkov, Ceram. Int., 48 (8), 10862 (2022). DOI: 10.1016/j.ceramint.2021.12.303
- [14] B. Wang, X. Zhong, H. Xu, Y. Zhang, U. Cvelbar, K. Ostrikov, Micromachines, 13 (12), 2075 (2022). DOI: 10.3390/mi13122075